

Starkniederschlagshöhen und -spenden gemäß KOSTRA-DWD-2010R

Auswertungszeitraum von 1951 - 2010, Januar - Dezember

Rasterfeld: 59018

Zeile: 59

Spalte: 18

Seite: 1/2

| Dauerstufe D | Wiederkehrzeit T | | | | | | | | | | | | | | | | | | |
|--------------|------------------|------|------------|------|------------|------|------------|------|------------|------|------------|------|------------|-------|------------|-------|------------|-------|------------|
| | 1 a | | 2 a | | 3 a | | 5 a | | 10 a | | 20 a | | 30 a | | 50 a | | 100 a | | |
| min | Std | mm | l / (s ha) | mm | l / (s ha) | mm | l / (s ha) | mm | l / (s ha) | mm | l / (s ha) | mm | l / (s ha) | mm | l / (s ha) | mm | l / (s ha) | mm | l / (s ha) |
| 5 | | 4,9 | 163,3 | 6,2 | 206,7 | 7,0 | 233,3 | 8,0 | 266,7 | 9,4 | 313,3 | 10,7 | 356,7 | 11,5 | 383,3 | 12,5 | 416,7 | 13,9 | 463,3 |
| 10 | | 7,7 | 128,3 | 9,6 | 160,0 | 10,8 | 180,0 | 12,2 | 203,3 | 14,1 | 235,0 | 16,0 | 266,7 | 17,1 | 285,0 | 18,5 | 308,3 | 20,4 | 340,0 |
| 15 | | 9,6 | 106,7 | 11,9 | 132,2 | 13,3 | 147,8 | 15,1 | 167,8 | 17,4 | 193,3 | 19,7 | 218,9 | 21,1 | 234,4 | 22,9 | 254,4 | 25,2 | 280,0 |
| 20 | | 10,9 | 90,8 | 13,6 | 113,3 | 15,2 | 126,7 | 17,2 | 143,3 | 19,9 | 165,8 | 22,7 | 189,2 | 24,2 | 201,7 | 26,2 | 218,3 | 29,0 | 241,7 |
| 30 | | 12,7 | 70,6 | 16,0 | 88,9 | 18,0 | 100,0 | 20,4 | 113,3 | 23,7 | 131,7 | 27,1 | 150,6 | 29,0 | 161,1 | 31,4 | 174,4 | 34,8 | 193,3 |
| 45 | | 14,2 | 52,6 | 18,3 | 67,8 | 20,7 | 76,7 | 23,7 | 87,8 | 27,7 | 102,6 | 31,8 | 117,8 | 34,2 | 126,7 | 37,2 | 137,8 | 41,3 | 153,0 |
| 60 | | 15,1 | 41,9 | 19,8 | 55,0 | 22,6 | 62,8 | 26,0 | 72,2 | 30,8 | 85,6 | 35,5 | 98,6 | 38,2 | 106,1 | 41,7 | 115,8 | 46,4 | 128,9 |
| 90 | | 17,2 | 31,9 | 22,1 | 40,9 | 25,0 | 46,3 | 28,6 | 53,0 | 33,5 | 62,0 | 38,4 | 71,1 | 41,3 | 76,5 | 44,9 | 83,1 | 49,8 | 92,2 |
| 120 | 2 | 18,8 | 26,1 | 23,9 | 33,2 | 26,8 | 37,2 | 30,6 | 42,5 | 35,6 | 49,4 | 40,7 | 56,5 | 43,7 | 60,7 | 47,4 | 65,8 | 52,4 | 72,8 |
| 180 | 3 | 21,4 | 19,8 | 26,7 | 24,7 | 29,8 | 27,6 | 33,7 | 31,2 | 38,9 | 36,0 | 44,2 | 40,9 | 47,3 | 43,8 | 51,2 | 47,4 | 56,5 | 52,3 |
| 240 | 4 | 23,5 | 16,3 | 28,9 | 20,1 | 32,1 | 22,3 | 36,1 | 25,1 | 41,5 | 28,8 | 47,0 | 32,6 | 50,1 | 34,8 | 54,1 | 37,6 | 59,6 | 41,4 |
| 360 | 6 | 26,7 | 12,4 | 32,4 | 15,0 | 35,7 | 16,5 | 39,9 | 18,5 | 45,5 | 21,1 | 51,2 | 23,7 | 54,5 | 25,2 | 58,7 | 27,2 | 64,3 | 29,8 |
| 540 | 9 | 30,4 | 9,4 | 36,3 | 11,2 | 39,7 | 12,3 | 44,1 | 13,6 | 50,0 | 15,4 | 55,9 | 17,3 | 59,4 | 18,3 | 63,7 | 19,7 | 69,6 | 21,5 |
| 720 | 12 | 33,3 | 7,7 | 39,4 | 9,1 | 42,9 | 9,9 | 47,4 | 11,0 | 53,5 | 12,4 | 59,6 | 13,8 | 63,1 | 14,6 | 67,6 | 15,6 | 73,7 | 17,1 |
| 1080 | 18 | 37,9 | 5,8 | 44,2 | 6,8 | 47,9 | 7,4 | 52,6 | 8,1 | 58,9 | 9,1 | 65,3 | 10,1 | 69,0 | 10,6 | 73,7 | 11,4 | 80,0 | 12,3 |
| 1440 | 24 | 41,5 | 4,8 | 48,0 | 5,6 | 51,9 | 6,0 | 56,7 | 6,6 | 63,2 | 7,3 | 69,7 | 8,1 | 73,6 | 8,5 | 78,4 | 9,1 | 84,9 | 9,8 |
| 2880 | 48 | 55,1 | 3,2 | 62,0 | 3,6 | 66,1 | 3,8 | 71,2 | 4,1 | 78,1 | 4,5 | 85,0 | 4,9 | 89,1 | 5,2 | 94,2 | 5,5 | 101,1 | 5,9 |
| 4320 | 72 | 65,0 | 2,5 | 72,2 | 2,8 | 76,4 | 2,9 | 81,6 | 3,1 | 88,8 | 3,4 | 96,0 | 3,7 | 100,2 | 3,9 | 105,4 | 4,1 | 112,6 | 4,3 |

Angaben in mm: Bemessungsniederschlagswerte h(n)

Angaben in l / (s ha): Regenspende R(n) mit $R(n) = h(n) \times 1,666667 / D[\text{min}]$

Toleranzbereiche:

+/- 10 % für $1 a \leq T \leq 5 a$

+/- 15 % für $5 a < T \leq 50 a$

+/- 20 % für $50 a < T \leq 100 a$

Datenbasis: KOSTRA-DWD-2010R des Deutschen Wetterdienstes. Die Regenspende wurde auf Basis des Bemessungsniederschlags zur jeweiligen Andauer berechnet.

Für die Richtigkeit und Aktualität der Angaben wird keine Gewähr übernommen. Erstellt 07/2022.

Starkniederschlagshöhen und -spenden gemäß KOSTRA-DWD-2010R

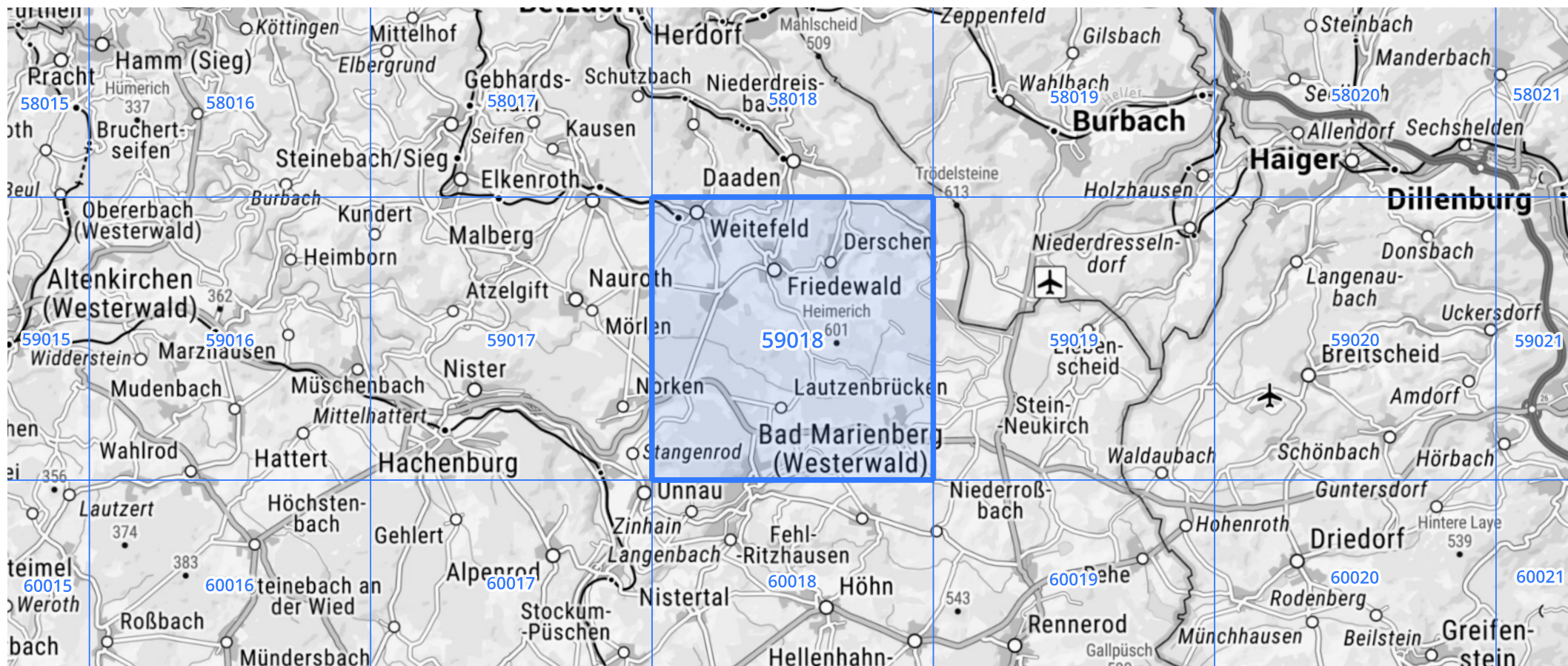
Auswertungszeitraum von 1951 - 2010, Januar - Dezember

Rasterfeld: 59018

Zeile: 59

Spalte: 18

Seite: 2/2



Quelle Rasterdaten: KOSTRA-DWD-2010R des Deutschen Wetterdienstes.

Kartendarstellung: © Bundesamt für Kartographie und Geodäsie (2022), Datenquellen: https://sgx.geodatenzentrum.de/web_public/gdz/datenquellen/Datenquellen_TopPlusOpen.html

Für die Richtigkeit und Aktualität der Angaben wird keine Gewähr übernommen. Erstellt 07/2022.